

скольжения порядка единицы), величина инкремента  $\omega_i$  достигает максимума и далее уменьшается. При  $H > 400$  гс частота колебаний меняется скачком, что, видимо, связано с установлением другого типа колебаний, вероятнее всего магнитоакустических [3, 4, 13].

Поступила 26 XI 1971

#### ЛИТЕРАТУРА

1. А н д р о п о в В. Г., Л о п а ц к и й Г. С., П е т р о в Г. Д., Ч е р ны ш В. И. Ю р ч у к Э. Ф. Низкочастотные колебания плазмы, вращающейся в магнитном поле. ПМТФ, 1969, № 5, стр. 141.
2. Ш и р о к о в М. Ф., В а у л и н Е. П. Течения неизотермической плазмы с большими скоростями. В сб. «Исследования при высоких температурах», М., «Наука», 1967.
3. S a i t o S., S a t o N., H a t t a Y. Low-frequency oscillations in a weakly ionized plasma in crossed electric and magnetic fields. J. Phys. Soc. Japan., 1966, vol. 21, No. 12, p. 2695.
4. В е д е н о в А. А., В е л и х о в Е. П. Проблемы использования плазмы с горячими электронами в МГД генераторах. Electricity from MHD, Vienna, 1966, vol. 2, p. 395.
5. Е л и с е е в Б. В. Неустойчивость пондеромоторной силы в слабо ионизованной плазме. Теплофизика высоких температур, 1964, т. 2, № 6, стр. 852.
6. V e l i k c h o v E. P., D y k h e A. M. Plasma turbulence due to ionization instability in a strong magnetic field. Compt. rend. 6-e Conférence Internat. Phénom. Ionisat. dans Gaz, vol. 4, Paris, 1963.
7. K e g g e b r o c k J. L. Nonequilibrium ionization due to electron heating. II. AIAA Journal, 1964, vol. 2, No. 6, p. 1072.
8. Ш и п у к И. Я., П а ш к и н С. В. Ионизационная неустойчивость плазмы в скрещенных полях. Докл. АН СССР, 1967, т. 176, № 6.
9. Р о ж к о в А. М., С т е п а н о в К. Н. С у п р у н е н к о В. А., Ф а р е н и к В. И., В л а с о в В. В. Резонансное возбуждение ионно-циклотронных колебаний во вращающейся плазме. Письма в ЖЭТФ, 1969, т. 10, вып. 2.
10. Н а с т о я щ и й А. Ф. Устойчивость тока в поперечном магнитном поле. Теплофизика высоких температур, 1964, т. 2, № 3, стр. 321.
11. Л о п а ц к и й Г. С., А н д р о п о в В. Г. Экспериментальное исследование характеристик дугового разряда в поперечном магнитном поле. Electricity from MHD, Vienna, 1966, vol. 2, p. 133.
12. Б и б е р м а н Л. М., В о р о б'е в В. С., Я к у б о в И. Т. К теории неравновесной низкотемпературной плазмы. Сб. «Магнитогидродинамический метод получения электроэнергии», М., «Энергия», 1968, стр. 209.
13. T r i g h e r S. A. The theory of the stability of sound on a nonhomogeneous plasma. Electricity from MHD, Vienna, 1966, vol. 2, p. 409.

УДК 537.529

#### О СТРУКТУРЕ ЭЛЕКТРИЧЕСКОГО ПОЛЯ НЕКОТОРЫХ ОСЕСИММЕТРИЧНЫХ И ПЛОСКИХ ЗАДАЧ

*А. П. Шаталов (Челябинск)*

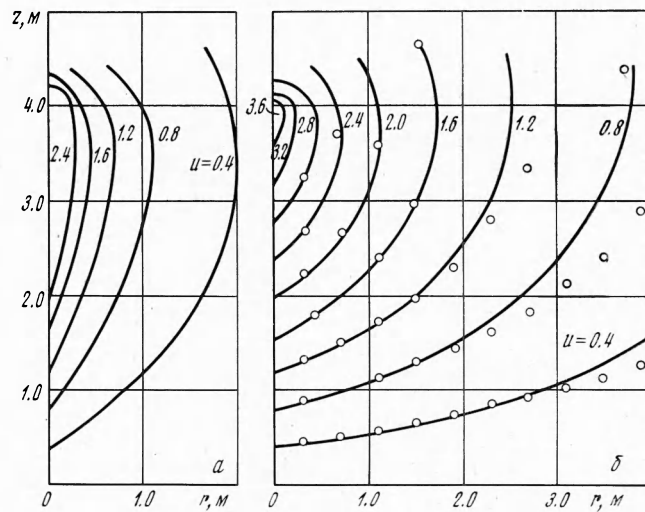
Приводятся результаты расчета на ЭЦВМ БЭСМ-6 электрического поля стержня и пластины, а также искажений внешнего поля штыревой антенной.

В ряде случаев возникает задача определения осесимметричных и плоских электрических полей, создаваемых цилиндрическим стержнем конечных размеров с заданным распределением напряжения по его длине, а также полей пластины, диска и полосковой линии. К расчету таких полей приводят анализ полей взрывающейся проволочки [1], реостатного делителя напряжения при измерении больших напряжений генераторов импульсных напряжений, определение искажений внешнего поля измерительной антенной и искажений поля атмосферы вблизи стержневого молниепровода, а также задача создания однородного поля в ограниченном объеме при моделировании действия внешнего равномерного поля [2]. В последнем случае важно рассчитать искажения поля внесенным объектом исследования.

В квазистатическом приближении расчет поля сводится к интегрированию уравнения Лапласа с заданными граничными условиями. Ввиду специфики области

аналитический расчет затруднителен. Иногда это затруднение разрешается упрощением области задачи. Например, в работе [3] анализ поля линейного вибратора ведется в допущении тонкой антенны.

Целый класс задач, включая расчеты электрического поля указанных выше осесимметричных и плоских задач, можно решать методом, описанным в работе [4].

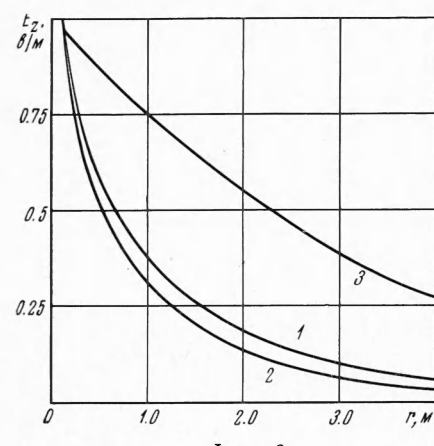


Фиг. 1

В качестве примера рассмотрим структуру электрического поля стержня и пластины внутри заземленной оболочки (внешней границы области). Расчет проводился при следующих исходных данных: длина стержня 4 м, радиус 0.1 м; распределение напряжения по длине стержня линейное с единичным градиентом ( $u_m = 4$ ); шаг сетки  $h = l = 0.2$  м; радиус оболочки  $a = 10.7$  м, высота  $b = 16.2$  м. Характерные размеры в плоском случае такие же, как и в осевом.

На фиг. 1, а, б показаны эквипотенциальные линии поля стержня (а) и пластины (б), построенные с шагом изменения потенциала  $\Delta u = 0.4$ . На картине поля пластины приведены также эквипотенциальные точки из аналогового решения задачи с бесконечно удаленной внешней границей [5]. Как видно, обе картины поля хорошо совпадают при удалении точек от пластины  $r < 3$  м. Далее сказывается влияние внешней границы (стен помещения). В осевом случае это влияние будет меньше.

Рассмотрим более подробно закономерности изменения поля стержня. На фиг. 2 приведена зависимость  $E_z = E_z(r)$  при  $z = 0.2$  м (кривые 1, 2). Кривая 3 относится к полю пластины на высоте  $z = 0$ . Как видно, с удалением от стержня вертикальная компонента напряженности поля существенно ослабляется. Понятно, что в случае пластины поле в окружающем пространстве больше и его спад происходит медленнее, чем в случае стержня.



Фиг. 2

Наибольшие величины  $E_z$  на поверхности примерно на уровне конца стержня. Напряженность поля уменьшается примерно на уровне конца стержня.

Вблизи стержня радиальная напряженность  $E_r$  поля растет по закону  $E_r \sim z$ , а с удалением в радиальном направлении убывает ( $E_r \sim 1/r$ ). Величина  $E_r$  может в несколько раз превышать вертикальную компоненту  $E_z$  на стержне.

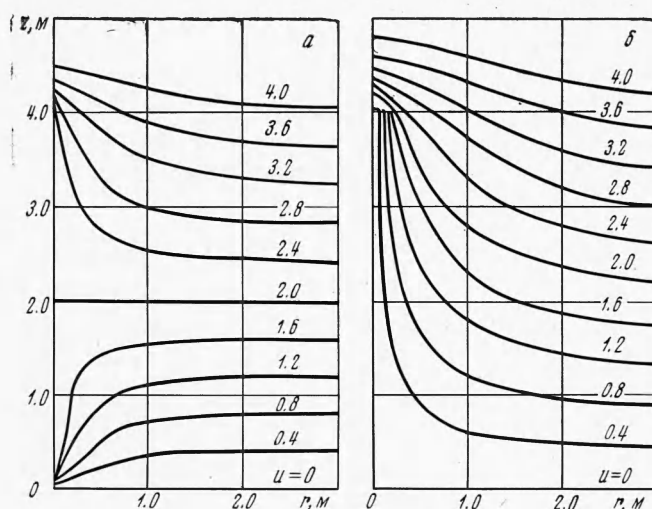
Расчеты поля производились также при разных радиусах стержня  $r_c$ . Радиальные напряженности  $E_r$  на поверхности стержня приведены в таблице.

Как правило, уменьшение радиуса стержня приводит к ослаблению  $E_z$  около стержня и к возрастанию  $E_r$  на его поверхности. По расчету  $E_r$  может превышать  $E_z$  в десятки раз. Реальность существования больших значений  $E_r$  показана в [4] на упрощенном модельном примере — коаксиальной системе двух проводов.

$r_c, м$	$z, м$									
	0.4	0.8	1.2	1.6	2.0	2.4	2.8	3.2	3.6	4.0
0.1	0.85	1.71	2.58	3.48	4.42	5.42	6.53	7.85	9.74	15.2
0.025	1.69	3.40	5.12	6.89	8.71	10.0	12.7	15.0	18.2	25.9
0.01	3.84	7.70	11.6	15.4	19.5	23.5	27.9	32.7	38.7	52.9

Обратим внимание на возможное проявление больших радиальных градиентов поля при электрическом взрыве проволочки. Последние могут приводить к электрической ионизации окружающего воздуха и расширению канала разрядного тока, причем лучшие условия для ионизации существуют на большей высоте взрывающейся проволочки. В свою очередь, в зависимости от величины динамического сопротивления проволочки этот процесс может влиять на распределение напряжения по ее длине и приводить к тому, что это распределение будет отличаться от линейного.

Эти же рассуждения относятся также к случаю измерения больших напряжений генераторов импульсных напряжений с помощью реостатного делителя напряжения.



Фиг. 3

На фиг. 3, а, б показана картина искажений внешнего однородного поля при внесении электрически короткой штыревой антенны в двух предельных режимах нагрузки: а — антenna не нагружена и б — антenna короткозамкнута. Как следует из фигуры, наибольшее искажение поля наблюдается при внесении антены с большей нагрузкой, что физически правдоподобно.

Картина поля (фиг. 3, б) дает представление также об искажении электрического поля атмосферы вблизи стержневого молниеводохода. Результаты расчета могут быть полезны при определении зоны попадания грозового разряда в молниеводоход.

Автор признателен В. А. Енальскому и А. В. Лучинскому за ценные обсуждения работы.

Поступила 30 VI 1971

#### ЛИТЕРАТУРА

1. Электрический взрыв проводников. М., «Мир», 1965.
2. Е наль с к и й В. А., Ш а т а л о в А. П. Расчет электрического поля для одной трехмерной области. Изв. СО АН СССР, Сер. техн. н., 1968, № 13, вып. 3, стр. 69—74.
3. Ле он т о в и ч М. А., Л е в и н М. Л. К теории возбуждения колебаний в вибраторах антенн. Ж. техн. физ., 1944, т. 14, вып. 9, стр. 481—506.
4. Ш а т а л о в А. П. К расчету электрического поля некоторого класса осесимметричных и плоских задач. Численные методы механики сплошной среды. Новосибирск, ВЦ СО АН СССР, 1971, т. 2, № 2.
5. Р я з а н о в Г. А. Опыты и моделирование при изучении электромагнитного поля. М., «Наука», 1966.